

# 基于不等距超平面距离的模糊支持向量机<sup>①</sup>



李村合, 姜宇, 李帅

(中国石油大学 计算机科学与技术学院, 青岛 266580)

通讯作者: 姜宇, E-mail: [jiang\\_yu8023@163.com](mailto:jiang_yu8023@163.com)

**摘要:** 随着大数据和人工智能时代的到来, 支持向量机已在许多方面成功应用, 并成为解决分类问题的常用方法之一. 但现实中的许多数据都是不平衡的, 令其分类性能大幅降低. 本文提出了用不等距超平面距离改进原始的标准模糊支持向量机, 向模型中加入参数  $\lambda$  控制分类面与样本之间的距离, 并通过计算样本距离得到模糊隶属度函数, 可以改善样本分布不均和噪声数据令分类准确度下降问题. 利用实验验证本文算法的有效性, 结果说明本文提出的算法能够有效提高不平衡数据的分类效果.

**关键词:** 支持向量机; 不平衡数据; 不等距超平面距离; 隶属度函数

引用格式: 李村合, 姜宇, 李帅. 基于不等距超平面距离的模糊支持向量机. 计算机系统应用, 2020, 29(10): 185-191. <http://www.c-s-a.org.cn/1003-3254/7570.html>

## Fuzzy Support Vector Machine Algorithm Based on Inequality Hyper-Plane Distance

LI Cun-He, JIANG Yu, LI Shuai

(Computer Science and Technology, China University of Petroleum, Qingdao 266580, China)

**Abstract:** In the age of the big data and artificial intelligence, Support Vector Machine (SVM) has been successfully applied in many aspects and becomes one of the common methods to solve classification problems. But the real world data is usually imbalanced, making its performance of classification significantly decreased. This study proposes to improve original standard Fuzzy Support Vector Machine (FSVM) by using inequality hyper-plane distance. The algorithm introduces parameter  $\lambda$  to controls the distance between hyper-plane and categories, and constructs fuzzy membership function by calculating sample mutually center distance, which can improve the falling precision of classification caused by imbalanced distribution of sample and noise data. The effectiveness of the proposed algorithm is verified by experiments, and the result shows that the proposed algorithm has a better effect of imbalanced data.

**Key words:** Support Vector Machine (SVM); imbalanced data; inequality hyper-plane distance; membership function

支持向量机是常见的一种基于统计学习理论的分类算法, 核心是结构风险最小化和 VC 维理论. 其主旨是在高维空间中寻找一个最优分类面, 将样本正确分类且保证分类间隔最大化<sup>[1]</sup>. 随着人工智能时代的到来, 支持向量机成功应用至许多方面, 尤其是在分类问题的解决上已经成为了主流方法, 如网页分类<sup>[2]</sup>, 手写识别<sup>[3]</sup>等.

但在实际生活及现实应用中, 许多常见的数据往往具有极大的不平衡性, 如缺陷数据<sup>[4]</sup>, 文本数据<sup>[5]</sup>, 疾病数据<sup>[6]</sup>等. 当利用支持向量机处理不平衡数据时, 往往会出现分类结果具有一定倾向性的现象, 即分类器对多数类的分类准确度较高, 而对少数类的分类准确度较低. 另外超平面的位置对支持向量机的性能有很大的影响, 并且超平面的确定极易受样本中噪点的影响.

① 基金项目: 山东省自然科学基金 (ZR2014FQ018)

Foundation item: Natural Science Foundation of Shandong Province (ZR2014FQ018)

收稿时间: 2020-01-20; 修改时间: 2020-02-12, 2020-02-17; 采用时间: 2020-02-29; csa 在线出版时间: 2020-09-30

影响<sup>[7]</sup>。所以为了解决上述问题,提高支持向量机的分类性能成为众多学者亟待解决的问题<sup>[8]</sup>。

在支持向量机的决策过程中,决策面位置的选取取决于样本空间的分布。由于不平衡数据集的类不平衡性较大,许多样本点对决策面的确定贡献度不大,容易识别为噪声并对分类器的性能造成影响。模糊向量机可以改善噪声数据造成的分类精度下降现象,通过为样本点赋予不同的隶属度来确定样本点的性质。但传统的模糊支持向量机在确定样本隶属度时,仅考虑了类内距离,应用于不平衡数据集分类时容易出现较大误差<sup>[9]</sup>。故本文提出一种应用不等距超平面距离的改进模糊支持向量机。文中将样本数量多的类规定为正类,将样本数量少的类规定为负类。通过向标准模糊支持向量机中引入参数 $\lambda$ ,以控制超平面与样本之间的距离。在构造隶属度函数时,不仅取决于样本之间的距离,还考虑了样本之间的互距离,更精准地表示样本分布,以减小不平衡的样本分布给分类准确度带来的影响。

## 1 相关工作

在不平衡样本集上进行训练时,相关的修改算法主要在两个方面上进行相关的改进,样本数据上和训练算法上<sup>[10]</sup>。在训练样本数据上进行的改进,主要有两种方法,分别是增加负类样本数量和减少正类样本数量,如欠采样和过采样。但采样方法容易造成分类模型在训练和测试过程中具有较大的误差,无法获得较准确的分类结果。文献[11,12]中解释了减少正类样本数量虽然可以改善数据的不平衡性,但会使样本所含信息丢失,分类效果降低;文献[13]证明了增加负样本也会出现过拟合现象,令噪声数据对模型分类准确度的影响更显著。

在用于不平衡数据分类的支持向量机训练算法中,不断有学者提出改进的算法。在文献[14]中,算法引用补偿因子以修正超平面的偏移量,利用支持向量的决策值估计补偿因子的数值,文献中所做的实验表明引用的补偿因子,训练样本离超平面的间隔可以在一定程度上得到正确的修正。但是,当不平衡样本集中正负类的训练样本有很大的交叉区域和有噪音数据时,算法的分类性能有很大的下降。在文献[15]中,算法在支持向量机训练过程中的为正负类样本分别设置了各自的惩罚因子,并将约束条件中加入新的参数控制分类间隔。将改进的近似支持向量机应用到不平衡样本的

分类,减小样本数量对分类面的影响,提高了算法精度。但这种方法的改善效果受到KKT条件的限制,KKT条件将惩罚参数作为其上限条件,而不是下限条件,同时寻找合适的惩罚参数是比较困难的。在文献[16],算法对相关的核函数进行修改并将其应用于不平衡样本集中,在黎曼几何结构上对核函数优化,提高了不平衡数据的分类准确率。在文献[17-20]中,介绍了SVM相关的改进算法,将其应用于不平衡样本,从各种方面使得负类样本的分类结果得到优化。

在文献[21]中,介绍了模糊支持向量机,它在处理分类和预测等现实问题时表现出了十分出色的性能,相较支持向量机而言,它可以减轻噪声数据对分类器性能的影响。隶属度函数的确定影响着模糊支持向量机分类性能,已有许多算法应用于解决隶属度函数的选择问题,如聚类算法<sup>[22,23]</sup>、启发式算法<sup>[24]</sup>等,但至今为止,模糊隶属度函数的确立尚无系统的理论规定和准则。

通过计算类内距离确定样本隶属度,是构造隶属度函数的经典方法。计算样本到其类中心点的距离,若距离小则判定该样本点属于该类的可能性较大,为其赋予一个较大的隶属度值;若距离过大则判定该样本点为噪声数据,并赋予该点一个较小的隶属度值。以此作为样本贡献度的衡量指标,可能会令分类器对噪声的辨识度降低<sup>[25]</sup>,使分类器训练时误差较大,降低分类器的分类精度和泛化性能。

## 2 不等距超平面距离改进的模糊支持向量机(IFD-FSVM)

模糊支持向量机模型为:训练集为 $\{(x_i, y_i, u_i) | i = 1, 2, \dots, l\}$ ,  $x_i$ 为样本集,  $y_i$ 为样本 $x_i$ 的标签且 $y_i \in \{+1, -1\}$ ,  $u_i$ 为模糊隶属度,反映了不同的类对分类面形成的贡献度,参数 $\varepsilon_i$ 为松弛变量,参数 $C$ 为惩罚参数。通常将类间超平面之间的分类间隔成为超平面距离,利用支持向量机求解分类问题的本质就是使超平面距离最大化。

其数学模型用公式表示为:

$$\min \frac{1}{2} \|\omega\|^2 + C \sum_{i=1}^l u_i \varepsilon_i \quad (1)$$

不等式约束条件为:

$$\begin{cases} y_i(\omega^T x_i + b) \geq 1 - \varepsilon_i \\ \varepsilon_i \geq 0, i = 1, \dots, l \end{cases} \quad (2)$$

式中, $\omega$ 为决定超平面方向的法向量, $b$ 表示该决策

面到坐标轴原点的距离。

模糊支持向量机的决策函数为:

$$f(x) = \text{sign} \left\{ \sum_{i=1}^m \alpha_i^* y_i K(x, x_i) + b^* \right\} \quad (3)$$

$$0 \leq \alpha_i \leq \mu_i C \quad i = 1, \dots, l \quad (4)$$

$K(x, x_i)$ 为核函数, 常见的核函数有线性核函数、多项式核函数、高斯核函数等, 在求解过程中核函数的选择要视数据集性质而定。

利用不等距超平面距离改进后的模糊支持向量机。当  $0 < \lambda < 1$ , 超平面距离正类样本较近; 反之则超平面距离负类样本较近。改进后的模糊支持向量机最优决策面即为下列公式的最优解:

$$\min \frac{1}{1+\lambda} \|\omega\|^2 + C \sum_{i=1}^l u_i \varepsilon_i \quad (5)$$

不等式约束条件变为:

$$\begin{cases} y_i [(\omega^T x_i) + b] - \lambda + \varepsilon_i \geq 0 & y_i = 1 \\ y_i [(\omega^T x_i) + b] + 1 + \varepsilon_i \leq 0 & y_i = -1 \\ \varepsilon_i \geq 0 & i = 1, \dots, l \end{cases} \quad (6)$$

通过引入拉格朗日乘子求解上述不等式约束的凸优化问题:

$$\begin{aligned} L(\omega, b, \varepsilon, a, \beta) = & \frac{1}{1+\lambda} \|\omega\|^2 + C \sum_{i=1}^l u_i \varepsilon_i \\ & - \left\{ \sum_{y_i=1} a_i y_i [(\omega^T x_i + b) - \lambda + \varepsilon_i] \right. \\ & \left. + \sum_{y_i=-1} a_i y_i [(\omega^T x_i + b) - 1 + \varepsilon_i] \right\} - \sum_{i=1}^l \beta_i \varepsilon_i \end{aligned} \quad (7)$$

其中,  $a_i$ 为拉格朗日因子

求解的关键变为得到 (7) 的最小值, 故对 (7) 式中的  $\omega, b, \varepsilon$  分别求偏导得到:

$$\begin{cases} \frac{\partial L(\omega, b, \varepsilon, a, \beta)}{\partial \omega} = \frac{1}{2(1+\lambda)} \omega - \sum_{i=1}^l a_i x_i y_i = 0 \\ \frac{\partial L(\omega, b, \varepsilon, a, \beta)}{\partial b} = \sum_{i=1}^l a_i y_i = 0 \\ \frac{\partial L(\omega, b, \varepsilon, a, \beta)}{\partial \varepsilon_i} = u_i C - a_i - \beta = 0 \end{cases} \quad (8)$$

将式 (8) 中得到的结果代入到式 (7), 利用拉格朗日对偶性可以将求解原问题满足约束条件的极小值转化为:

$$\max \sum_{y_i=1} \lambda a_i + \sum_{y_i=-1} a_i - \frac{1+\lambda}{4} \sum_{i=1}^l \sum_{j=1}^l y_i y_j a_i a_j (x_i, x_j) \quad (9)$$

由  $\sum_{i=1}^l y_i a_i = 0$  得到于  $\sum_{j=1}^l a_j = \sum_{j=-1}^l a_j$ , 化简式 (9) 得到:

$$\begin{aligned} & \sum_{y_i=1} \lambda a_i + \sum_{y_i=-1} a_i - \frac{1+\lambda}{4} \sum_{i=1}^l \sum_{j=1}^l y_i y_j a_i a_j (x_i, x_j) = \\ & \frac{1+\lambda}{2} \left\{ \sum_{i=1}^l a_i - \frac{1}{2} \sum_{i=1}^l \sum_{j=1}^l y_i y_j a_i a_j (x_i, x_j) \right\} \end{aligned} \quad (10)$$

将上面列出的凸优化问题求解完毕, 得到改进的模糊支持向量机的决策函数:

$$f(x) = \text{sign} \left\{ \frac{1+\lambda}{2} \left[ \sum_{x_i \in SV} a_i y_i K(x_i, x) + b^* \right] \right\} \quad (11)$$

$$0 \leq a_i \leq u_i C \quad i = 1, \dots, l \quad (12)$$

$\lambda$  的值影响超平面与类之间的空间距离, 若  $0 < \lambda < 1$ , 则超平面与正类间的空间距离较小; 若  $\lambda > 1$ , 则超平面与负类之间的空间距离较小; 若  $\lambda = 1$  该算法等同于标准的模糊支持向量机。

从式 (11)、式 (12) 可以得到改进后的模糊支持向量机和标准的模糊支持向量机的基本原理相同的结论, 可以将标准模糊支持向量机的训练方法应用于改进的模糊支持向量机上。

### 3 确定隶属度函数

在超平面的确定过程中, 并不是所有的样本点都能起到决定性作用的, 样本贡献度就是度量求解超平面所需的样本点的性质。图 1 展示了样本空间的分布状态, 其中深色区域中的样本贡献度较大, 区域外的样本贡献度法较小, 在求解过程中更有被识别为噪声数据的可能性, 影响超平面位置的选取。另外, 大部分的支持向量样本位于阴影部分。本文提出一种确定隶属度函数的方法, 既考虑到了样本内的距离关系, 又考虑到了样本之间的相互关系。

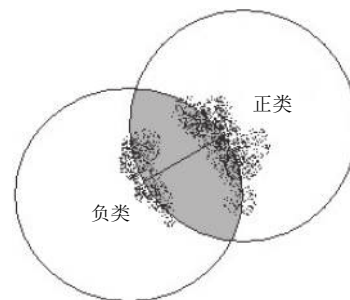


图 1 样本的空间分布

通常定义隶属度函数如下:

定义 1. 类中心: 一类样本的平均样本特征定义为该类的中心. 如训练样本标记为:  $\{x_1, x_2, \dots, x_n\}$ , 类中心记为  $m = \frac{1}{n} \sum_{i=1}^n x_i$ , 正类样本的类中心记为  $m_+$ , 负类样本的类中心记为  $m_-$ .

定义 2. 两类样本之间的距离: 两类样本的类中心之间的距离为两类样本之间的距离, 记为  $d$ ,  $d = |m_+ - m_-|$ .

定义 3. 两类样本之间的互距离: 规定所有正类

样本到正类中心的距离  $d_{ip}^+ = |x_i - m_+|$ , 到负类中心的距离  $d_{ip}^- = |x_i - m_-|$ . 同样地, 规定所有负类样本到负类中心的距离  $d_{in}^- = |x_i - m_-|$ , 到正类中心的距离  $d_{in}^+ = |x_i - m_+|$ .

由于支持向量机是通过将样本映射到高维空间寻找最优决策面, 依据上文给出的定义, 各类的样本距离和样本互距离在高维空间中求解过程为:

$$m = \frac{1}{n} \sum_{i=1}^n \varphi(x_i) \tag{13}$$

$$d = |m_+ - m_-| = \left( \left| \sum_{x_+ \in X_+} \varphi(x_+) / n_+ - \sum_{x_- \in X_-} \varphi(x_-) / n_- \right|^2 \right)^{\frac{1}{2}}$$

$$= \left( \sum_{\substack{x_{+i} \in X_+ \\ x_{+j} \in X_+}} K(x_{+i}, x_{+j}) / n_+^2 + \sum_{\substack{x_{-p} \in X_- \\ x_{-q} \in X_-}} K(x_{-p}, x_{-q}) / n_-^2 - 2 \sum_{\substack{x_{+m} \in X_+ \\ x_{-n} \in X_-}} K(x_{+m}, x_{-n}) / n_+ n_- \right)^{\frac{1}{2}} \tag{14}$$

$$d_{ip}^+ = |\varphi(x_+) - m_+| = \left( \left| \varphi(x_+) - \sum_{x_+ \in X_+} \varphi(x_+) / n_+ \right|^2 \right)^{\frac{1}{2}} = \left( K(x_+, x_+) + \sum_{\substack{x_{+p} \in X_+ \\ x_{+q} \in X_+}} K(x_{+p}, x_{+q}) / n_+^2 - 2 \sum_{x_{+m} \in X_+} K(x_+, x_{+m}) / n_+ \right)^{\frac{1}{2}} \tag{15}$$

$$d_{ip}^- = |\varphi(x_+) - m_-| = \left( \left| \varphi(x_+) - \sum_{x_+ \in X_-} \varphi(x_-) / n_- \right|^2 \right)^{\frac{1}{2}} = \left( K(x_+, x_+) + \sum_{\substack{x_{-p} \in X_- \\ x_{-q} \in X_-}} K(x_{-p}, x_{-q}) / n_-^2 - 2 \sum_{x_{-m} \in X_-} K(x_+, x_{-m}) / n_- \right)^{\frac{1}{2}} \tag{16}$$

$$d_{in}^- = |\varphi(x_-) - m_-| = \left( \left| \varphi(x_-) - \sum_{x_- \in X_-} \varphi(x_-) / n_- \right|^2 \right)^{\frac{1}{2}} = \left( K(x_-, x_-) + \sum_{\substack{x_{-p} \in X_- \\ x_{-q} \in X_-}} K(x_{-p}, x_{-q}) / n_-^2 - 2 \sum_{x_{-m} \in X_-} K(x_-, x_{-m}) / n_- \right)^{\frac{1}{2}} \tag{17}$$

$$d_{in}^+ = |\varphi(x_-) - m_+| = \left( \left| \varphi(x_-) - \sum_{x_+ \in X_+} \varphi(x_+) / n_+ \right|^2 \right)^{\frac{1}{2}} = \left( K(x_-, x_-) + \sum_{\substack{x_{+p} \in X_+ \\ x_{+q} \in X_+}} K(x_{+p}, x_{+q}) / n_+^2 - 2 \sum_{x_{+m} \in X_+} K(x_-, x_{+m}) / n_+ \right)^{\frac{1}{2}} \tag{18}$$

为此提出了隶属度函数的设计算法如算法 1.

算法 1. 利用样本距离确定隶属度函数算法

- 1) 计算样本中心点之间的距离 $d$ ,计算正类样本的互距离 $d_{ip}^-$ ;
- 2) 比较样本距离与样本互距离的大小:若 $d_{ip}^- > d$ , 样本大都位于图 1 深色区域外部分,若 $d_{ip}^- \leq d$ , 样本大都位于图 1 深色区域内部分;
- 3) 取 $d_{ip}^- \leq d$ 的样本点计算其 $d_{ip}^+$ , 将其中的最大值记为 $R^+$ .
- 4) 同理得到负类样本的 $R^-$ .

最终得到两类样本的隶属度函数:

$$\begin{cases} s_{ip} = d_{ip}^+ / R^+, d_{ip}^- \leq d \\ s_{ip} = \delta, d_{ip}^- > d \end{cases} \quad y_i = 1 \quad (19)$$

$$\begin{cases} s_{in} = d_{in}^- / R^-, d_{in}^+ \leq d \\ s_{in} = \delta, d_{in}^+ > d \end{cases} \quad y_i = -1 \quad (20)$$

#### 4 实验结果与分析

当分类问题应用到现实生活中时, 往往对负类的分类结果有更高的要求. 本文应用两种评价准则来验证改进算法的分类效果, 即准确率和召回率. 其中准确率描述的是分类结果, 表示负类分类结果中实际负类样本的比例. 召回率描述的是原有样本的分类覆盖率, 表示的是原有样本中的负类被正确分类的比例. 其表达式分别为:

$$\text{准确率 Precision} = TN / (TN + FN)$$

$$\text{召回率 Recall} = TN / (TN + FP)$$

$TN$  代表实为负类且分类结果为负类的样本,  $FN$  代表实为负类但分类结果为正类的样本,  $FP$  代表实为正类但分类结果为负类的样本.

实验基于 UCI 数据集, 并选出 4 种不平衡率不同的训练样本集, 样本不平衡率如表 1 所示.

表 1 样本训练集

数据集	正类样本	负类样本	样本总数	不平衡比
Irist	2000	400	2400	5:1
Balance Scale	620	98	718	6.3:1
Yeast	13 100	1000	14 100	13.1:1
Abalone	6000	200	6200	30:1

实验将 IFD-FSVM 算法应用于 UCI 数据集验证算法性能, 并将实验结果与 SVM、FSVM 在相同场景下的分类结果进行比较.

**SVM 算法:** 等距超平面且没有将隶属度函数应用于支持向量机.

**FSVM 算法:** 等距超平面线性隶属度函数的模糊支持向量机.

**IFD-FSVM 算法:** 应用不等距超平面距离的改进模糊支持向量机.

首先, 将 4 种样本集的参数分别设置为 $\lambda_{Irist}=0.8$ ,  $\lambda_{Balance}=0.7$ ,  $\lambda_{Yeast}=0.63$ ,  $\lambda_{Abalone}=0.37$ ,  $\delta=0.2$  时, 各样本集的分类结果如表 2 所示.

表 2 各数据集在 3 种算法下的分类准确率与回归率 (%)

数据集	SVM算法		FSVM算法		IFD-FSVM算法	
	准确率	回归率	准确率	回归率	准确率	回归率
Irist	74.34	90.01	82.73	89.95	90.02	93.89
Balance Scale	74.27	82.66	78.64	83.86	89.10	90.03
Yeast	62.75	84.37	75.05	89.92	82.06	95.16
Abalone	51.98	84.49	62.97	90.04	78.90	95.28

由表 2 可以看出, 相比其他算法, IFD-FSVM 算法明显提高了分类准确率与回归率. 在 Irist 数据集上应用 IFD-FSVM 算法进行分类, 准确率分别比应用标准 SVM 和 FSVM 提高了 15.68% 和 7.29%. 在 Balance Scale 数据集上应用本文算法进行分类, 准确率分别比应用标准 SVM 和 FSVM 提高了 14.83% 和 10.46%. 而在 Yeast 数据集上, IFD-FSVM 算法的分类准确率比其他两种算法分别提高了 19.31% 和 7.01%, 在 Abalone 数据集上则具有较大的准确度改善, 较其他两种算法分别提高了 26.92% 和 15.93%.

各样本集的分类效果如图 2、图 3 所示.

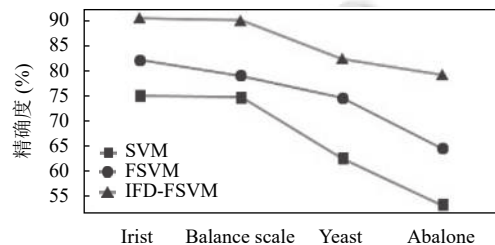


图 2 负类样本分类准确率对比

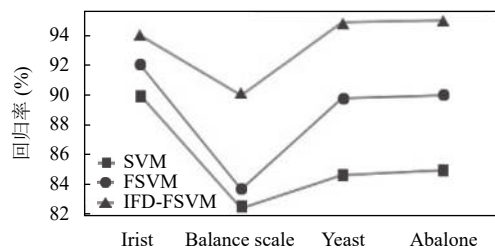


图 3 负类样本回归率对比

图 2 和图 3 分别展示了 3 种算法在 4 种样本集上负类的分类的准确率和召回率. 可以看出, IFD-FSVM 算法的分类效果明显优于另外两个标准算法. 且样本

数据不平衡比例越高,分类效果的改善越明显,在 Abalone 数据集上的负样本分类准确率和召回率都有较大幅度提升。

虽然参数 $\lambda$ 对分类器性能有着至关重要的影响,当参数 $\lambda < 1$ 时,负类的分类效果有明显改善,但并不是参数 $\lambda$ 的设置越小越好。当参数 $\lambda$ 过小时,正类的分类效果受到影响。如将4种样本集的参数分别设置为 $\lambda_{\text{Irist}}=0.21$ ,  $\lambda_{\text{Balance}}=0.19$ ,  $\lambda_{\text{Yeast}}=0.12$ ,  $\lambda_{\text{Abalone}}=0.08$ 时,各样本集的正类分类准确率如图4所示。

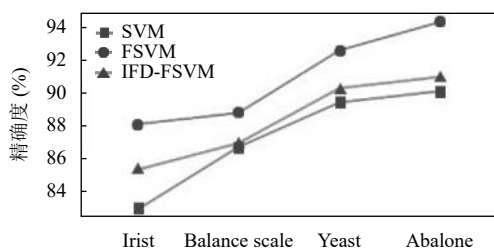


图4 正类样本分类准确率对比

从图4中可以看出,若将参数 $\lambda$ 的值设置为如上,相较于标准的模糊支持向量机,IFD-FSVM算法对正类分类效果明显下降。由于参数 $\lambda$ 过小,超平面与正类样本距离过小,负类样本被识别为噪声的概率增加,导致正类分类准确率受到影响。

## 5 结论与展望

通过对不平衡支持向量机的研究,本文提出了应用不等距超平面距离改进的模糊支持向量机 IFD-FSVM。算法通过改进原有的模糊支持向量机,引入参数 $\lambda$ 以调节超平面到正类的距离,实验时规定 $\lambda < 1$ ,令超平面接近正类样本。利用样本之间的互距离确定模糊隶属度函数,有利于确定贡献度大的样本数据,更好的反映了训练样本对超平面形成的贡献作用,降低了噪声数据给分类器性能带来的影响。最后利用UCI数据集来验证IFD-FSVM算法的有效性,实验结果说明IFD-FSVM算法能够有效提高不平衡样本的分类准确率。

## 参考文献

- Vapnik VN. Statistical Learning Theory. New York: Wiley, 1998.
- Bhalla VK, Kumar N. An efficient scheme for automatic web pages categorization using the support vector machine. New Review of Hypermedia and Multimedia, 2016, 22(3): 223–

242. [doi: 10.1080/13614568.2016.1152316]
- Zeng M, Zou BJ, Wei FR, et al. Effective prediction of three common diseases by combining SMOTE with Tomek links technique for imbalanced medical data. Proceedings of 2016 IEEE International Conference of Online Analysis and Computing Science (ICOACS). Chongqing, China. 2016. 225–228. [doi: 10.1109/ICOACS.2016.7563084]
- 于巧, 姜淑娟, 张艳梅, 等. 分类不平衡对软件缺陷预测模型性能的影响研究. 计算机学报, 2018, 41(4): 809–824. [doi: 10.11897/SP.J.1016.2018.00809]
- Elleuch M, Maalej R, Kherallah M. A new design based-SVM of the CNN classifier architecture with dropout for offline Arabic handwritten recognition. Procedia Computer Science, 2016, 80: 1712–1723. [doi: 10.1016/j.procs.2016.05.512]
- 魏鑫, 张雪英, 李凤莲, 等. 面向非平衡数据集分类的改进模糊支持向量机. 计算机工程与设计, 2019, 40(11): 3124–3129.
- Han H, Wang WY, Mao BH. Borderline-SMOTE: A new over-sampling method in imbalanced data sets learning. Proceedings of 2005 International Conference on Advances in Intelligent Computing. Hefei, China. 2005. 878–887.
- 李勇, 刘战东, 张海军. 不平衡数据的集成分类算法综述. 计算机应用研究, 2014, 31(5): 1287–1291. [doi: 10.3969/j.issn.1001-3695.2014.05.002]
- 鞠哲, 曹隼喆, 顾宏. 用于不平衡数据分类的模糊支持向量机算法. 大连理工大学学报, 2016, 56(5): 525–531. [doi: 10.7511/dllgxb201605013]
- Elkan C, Noto K. Learning classifiers from only positive and unlabeled data. Proceedings of the 14th ACM SIGKDD International Conference on Knowledge Discovery and Data Mining. Las Vegas, NV, USA. 2008. 213–220. [doi: 10.1145/1401890.1401920]
- Dal Pozzolo A, Caelen O, Johnson RA, et al. Calibrating probability with undersampling for unbalanced classification. Proceedings of 2015 IEEE Symposium Series on Computational Intelligence. Cape Town, South Africa. 2015. 159–166. [doi: 10.1109/SSCI.2015.3]
- 魏力, 张育平. 一种改进型的不平衡数据欠采样算法. 小型微型计算机系统, 2019, 40(5): 1094–1098. [doi: 10.3969/j.issn.1000-1220.2019.05.032]
- 张菲菲, 王黎明, 柴玉梅. 一种改进过采样的不平衡数据集成分类算法. 小型微型计算机系统, 2018, 39(10): 2162–2168. [doi: 10.3969/j.issn.1000-1220.2018.10.006]
- Li BY, Hu JL, Hirasawa K. Support vector machine classifier with WHM offset for unbalanced data. Journal of Advanced

- Computational Intelligence and Intelligent Informatics, 2008, 12(1): 94–101. [doi: 10.20965/jaciii.2008.p0094]
- 15 刘艳, 钟萍, 陈静, 等. 用于处理不平衡样本的改进近似支持向量机新算法. 计算机应用, 2014, 34(6): 1618–1621. [doi: 10.11772/j.issn.1001-9081.2014.06.1618]
- 16 Wang Z, Zhu YW, Chen ZZ, *et al.* Multi-view learning with fisher kernel and bi-bagging for imbalanced problem. Applied Intelligence, 2019, 49(8): 3109–3122. [doi: 10.1007/s10489-019-01428-1]
- 17 Malyscheff AM, Trafalis TB. Kernel classification using a linear programming approach. Annals of Mathematics and Artificial Intelligence, 2020, 88(1): 39–51.
- 18 Wang F, Liu SJ, Ni WC, *et al.* Imbalanced data classification algorithm with support vector machine kernel extensions. Evolutionary Intelligence, 2019, 12(3): 341–347. [doi: 10.1007/s12065-018-0182-0]
- 19 Li YJ, Guo HX, Liu X, *et al.* Adapted ensemble classification algorithm based on multiple classifier system and feature selection for classifying multi-class imbalanced data. Knowledge-Based Systems, 2016, 94: 88–104. [doi: 10.1016/j.knosys.2015.11.013]
- 20 Abdi L, Hashemi S. To combat multi-class imbalanced problems by means of over-sampling and boosting techniques. Soft Computing, 2015, 19(12): 3369–3385. [doi: 10.1007/s00500-014-1291-z]
- 21 Lin Cf, Wang SD. Fuzzy support vector machines. IEEE Transactions on Neural Networks, 2002, 13(2): 464–471. [doi: 10.1109/72.991432]
- 22 Zhang JJ, Zhong P. Learning biased SVM with weighted within-Class scatter for imbalanced classification. Neural Processing Letters, 2020, 51(1): 797–817. [doi: 10.1007/s11063-019-10096-8]
- 23 Liu KM, Wu XJ. Fuzzy support vector machines based on collaborative representation. Proceedings of the 11th International Conference on Natural Computation. Zhangjiajie, China. 2015. 64–68.
- 24 Zhou XL, Jiang PY, Wang XX. Recognition of control chart patterns using fuzzy SVM with a hybrid kernel function. Journal of Intelligent Manufacturing, 2018, 29(1): 51–67. [doi: 10.1007/s10845-015-1089-6]
- 25 杨志民, 王甜甜, 邵元海. 面向不均衡分类的隶属度加权模糊支持向量机. 计算机工程与应用, 2018, 54(2): 68–75. [doi: 10.3778/j.issn.1002-8331.1609-0112]